

不動建設正員元山峰夫 神戸大学正員高田至郎

1. 摩擦復元力特性: 著者らは以前に理諭管路長手方向での動的摩擦復元力に関する模型実験を行なって、Fig.1に示す結果を得た。そして相対変位 $\gamma$ と復元力 $F$ の関係はFig.2に示すように、 $F=k_1\gamma^{0.8}\gamma/181$ で近似されることを明らかにした。 $k_1$ は管面に作用する圧力、摩擦面の状態などによって決定される定数である。

2. モデルによる確率論的解析: 理諭管路の長手方向振動を取り扱う際に、入力波動と摩擦復元力の特性に関してはきわめて不明な点が多い。また、慣性力・減衰力の影響を定量的に明らかにすることも重要である。Fig.3に示す解析モデルを設定してこれらの問題を確率論的に評価することを試みた。Fig.3中の $R_i$ は管路の剛性、 $K_{ij}$ は摩擦力に相当するべく不定数でFig.2に示す特性をもつ。 $C_i$ は管路と地盤の相互作用に起因する粘性減衰を表わす定数である。管路の両端は固定されており、波動が一端から他端へ任意の波速で伝播するものと看えてよい。

W.D.Iwan らによる多自由度系の確率論的等価線形化の手法を応用すれば、本解析の場合、等価ベベ定数  $K_{eq}$  と応答相対変位の分散値  $G_{\gamma i}^2$  の間に次の関係が成立する。

$$K_{eq} = Z^{\frac{1}{2}}(\alpha+1) \sigma_{\gamma i}^{(0.8-1)} k_i P(\frac{1}{2}\alpha+1)/\pi \quad (1)$$

ここで、 $k_i, \alpha_i$  は  $i$  質点での  $k, \alpha$  の値で、 $P(x)$  はガンマ関数を表わしている。等価ベベ定数の初期値を仮定して応答値を計算し、しかも式(1)式によって  $K_{eq}$  を求め、一定の精度まで繰り返し計算を行なえばよい。したがって計算は線型と同様に取り扱うことができる。モーテルアナリシス法を用いれば相対変位の分散値は次式で計算される。

$$G_{\gamma i}^2 = \int_{-\infty}^{\infty} \sum_{j=1}^n \sum_{k=1}^m \sum_{l=1}^n \sum_{m=1}^p m_j m_k m_l H_i(\omega) H_j(\omega) H_k(\omega) H_m(\omega) d\omega / \pi \quad (2)$$

ここに  $\Phi_{ij}$  は  $i$  質点における  $j$  次モード。 $m_i, m_j$  は  $i$  質点の質量、 $m_k, m_l$  はモーテル質量、 $H_i(\omega)$  は位達関数。 $S_{H_i}(\omega)$  は地盤加速度スペクトル強度を表わしている。 $\times 10^{-5}$

$k_i$  質点の入力波動の時間遅れを  $T_{rel}$  とし、

加速度スペクトルがホワイトノイズであると仮定すれば次式が成立する。

$$S_{H_i}(\omega) = S_0 e^{-L\omega T_{rel}} \quad (3)$$

(1)(2)(3)式を用いて応答計算を行ない、その結果をもとの釣合式の各項に代入され

慣性力・減衰力・復元力の割合が定められる。

3. 数値計算結果: Fig.4は $\alpha=1$ の線型の場合について $R$ の値による分散値の違いを見たものであり、地盤の拘束力が大きければ当然相対変位は小さくなる。また固定端ではひずみが大きくなる。Fig.5, Table 1は非線型度の違いが応答に与える影響を調べたもので、便宜的に等価ベベ定数を定められる可能性を示唆している。Fig.6は波速による違いをみたものである。位相差が大きい程、相対変位は大きくなっているが、著しい差異はない。その他計算結果は講演時に示す。

1) 高田至郎: 地盤管路接合部の復元特性と地震応答、土木学会論文集 No.249, 1972.5.

2) W.D.Iwan and I-Tin Yang: Application of Statistical Linearization Method to Nonlinear Multidegree of Freedom System, J.A.R.E. 1972.6.

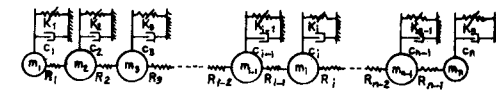


Fig.3

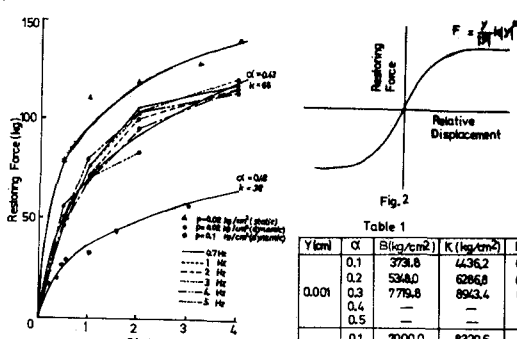


Fig.1

Yield	$\alpha$	$B(kg/cm^2)$	$K(kg/cm^2)$	$B/K$
0.001	0.1	373.8	4436.2	0.04
	0.2	534.0	6266.8	0.05
	0.3	7779.8	8943.4	0.06
	0.4	—	—	—
	0.5	—	—	—
0.002	0.1	7000.0	8320.6	0.04
	0.2	9361.8	11006.9	0.05
	0.3	32610.0	14608.5	0.06
	0.4	17085.1	19456.4	0.06
	0.5	23261.5	25988.4	0.06
0.005	0.1	16393.6	19250.6	0.04
	0.2	19752.6	23220.7	0.05
	0.3	24289.0	29023.1	0.06
	0.4	29951.5	34108.6	0.06
	0.5	37166.4	41501.1	0.06
0.010	0.1	30992.9	36723.8	0.04
	0.2	35074.0	41230.6	0.05
	0.3	40072.5	46304.4	0.06
	0.4	46041.1	52421.4	0.06
	0.5	53119.3	59342.8	0.06

Table 1

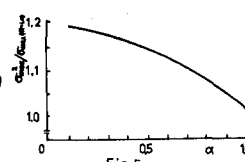


Fig.5

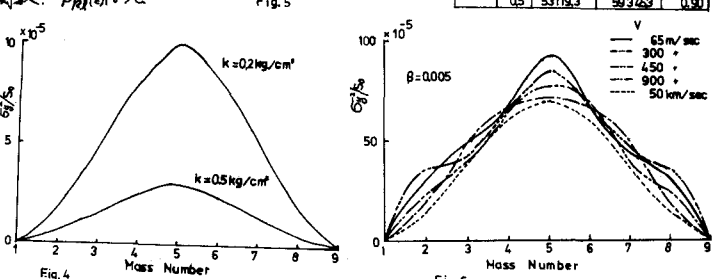


Fig.6